



## Chapter 10

# 傅立叶级数和傅立叶变换

### 10.1 傅立叶级数

我们在微积分中学过，周期函数可以进行傅立叶级数分解。不妨设  $f(x) = f(x + 2\pi)$  是定义在实数域内的  $2\pi$  周期函数。这里周期的大小不重要。傅立叶定理说的是我们可以将  $f(x)$  写为无穷级数的形式

$$f(x) = \sum_{n=-\infty}^{\infty} c_n e^{inx} \quad (10.1)$$

其中  $c_n$  是复数，

$$c_n = \frac{1}{2\pi} \int_{-\pi}^{\pi} f(x) e^{-inx} dx \quad (10.2)$$

且对于  $n > 0$ :

$$c_n = \frac{a_n - ib_n}{2}, \quad c_{-n} = \frac{a_n + ib_n}{2}, \quad c_0 = a_0 \quad (10.3)$$

且  $a_0, a_n, b_n$  为实数。换句话说  $c_n = c_{-n}^*$ 。代入(10.1)后得到

$$\begin{aligned} f(x) &= a_0 + \sum_{n=1}^{\infty} (c_n e^{inx} + c_{-n} e^{-inx}) \\ &= a_0 + \sum_{n=1}^{\infty} \left[ \frac{(a_n - ib_n)}{2} (\cos(nx) + i \sin(nx)) + \frac{(a_n + ib_n)}{2} (\cos(nx) - i \sin(nx)) \right] \\ &= a_0 + \sum_{n=1}^{\infty} [a_n \cos(nx) + b_n \sin(nx)] \end{aligned} \quad (10.4)$$

这是大家更为熟悉的傅立叶级数分解。关于傅立叶分解的证明，需要用到实变函数的知识，或者是本节后面给出的较为繁琐的证明。但是，**假如**  $f(x)$

能被解析延拓为复解析函数的话，我们借助解析函数的方法，从洛朗级数出发去理解傅立叶级数。必须指出的是，这个假设只是出于理解方便做的约束，完整的傅立叶定理是无需这个假设的。

我们假设  $2\pi$  周期函数  $f(x)$  可以延拓为复解析函数  $f(z)$ ，且具有同样的周期，

$$f(z) = f(z + 2\pi) \quad (10.5)$$

其解析区域位于复平面上的一个包含实轴的无穷长带状区域（实际的解析区域可能更大，但对我们的讨论不重要），见图 Figure 10.1左。

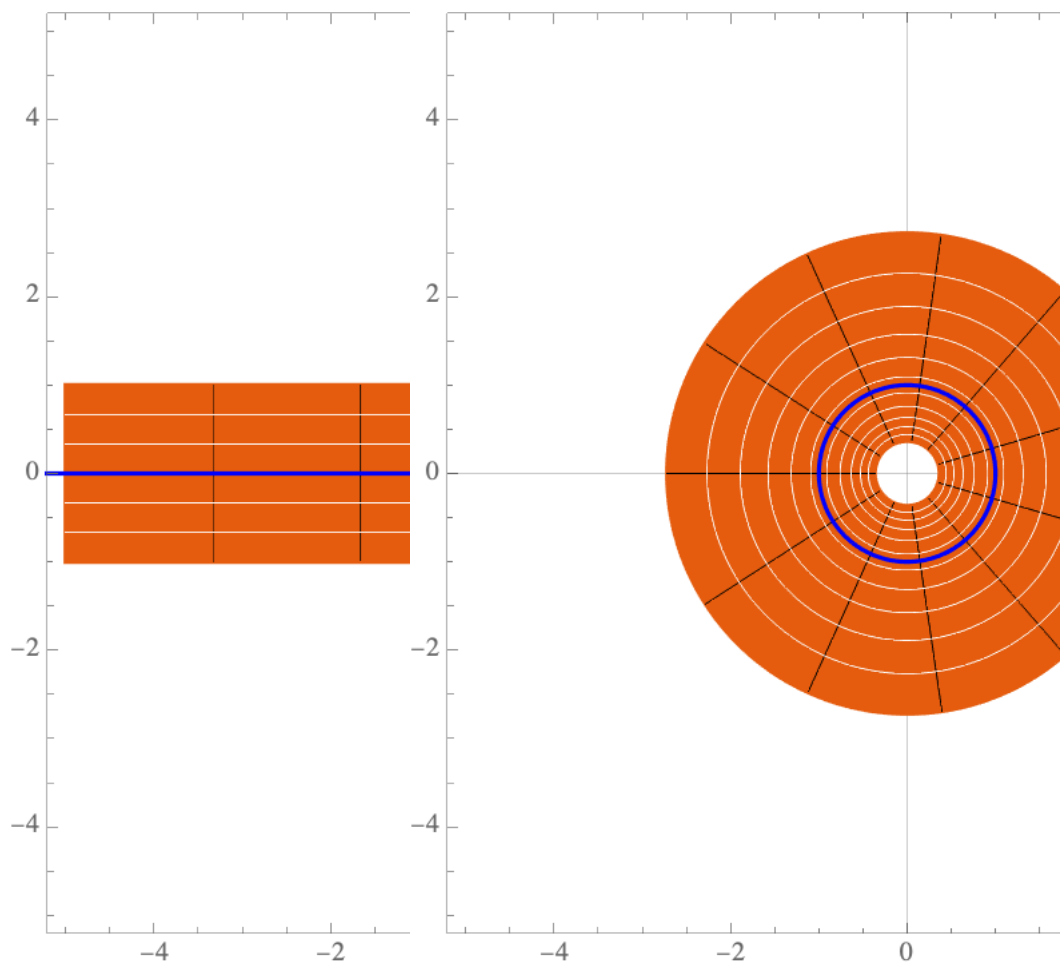


Figure 10.1: 带状区域被映射到环域。

如果我们做一个变量替换,

$$\boxed{w = e^{iz}, \quad z = \frac{\ln w}{i}} \quad (10.6)$$

则左侧到带状区域并映射到右侧到环域, 而  $z$  平面的实轴被映射到  $w$  平面的单位圆。我们有如下定理:

**定理 42** 复平面上在包含实轴的水平带状区域上的  $2\pi$  周期解析函数  $f(z)$  与  $w$  平面上的包含单位圆周的环境上的解析函数  $g(w)$  有一一对应关系,

$$f(z) = g(w), \quad w = e^{iz} \quad (10.7)$$

**证明 15** 首先, 给定一个  $g(w)$ , 我们证明(10.7)中定义的  $f(z)$  是  $z$  平面上的  $2\pi$  周期函数, 这可由下式得到

$$f(z) = g(e^{iz}) = g(e^{i(z+2\pi)}) = f(z+2\pi) \quad (10.8)$$

接下来, 我们证明, 给定一个  $f(z) = f(z+2\pi)$ , 我们一定能找到一个对应的  $g(w)$ 。只需令

$$g(w) = f\left(\frac{\ln w}{i}\right) \quad (10.9)$$

我们还需证明如此构造的  $g(w)$  在包含单位圆周的环境上是解析的。但是  $\ln w$  在负实轴上有割线, 因此  $g(w)$  乍看并不是环境上的解析函数。幸运的是, 如果我们观察在负实轴上  $g(w)$  的行为,

$$\begin{aligned} g(re^{i\pi-i0+}) &= f\left(\frac{\ln(re^{i\pi-i0+})}{i}\right) \\ &= f\left(\frac{\ln(r)}{i} + \pi - 0_+\right) \\ &= f\left(\frac{\ln(r)}{i} - \pi + 0_+\right) \\ &= g(re^{-i\pi+i0+}) \end{aligned} \quad (10.10)$$

其中在倒数第二步我们应用了  $f(z)$  是  $2\pi$  周期函数。我们看到  $g(w)$  在负实轴上是连续的, 因此负实轴并不是其割线。从而我们得到  $g(w)$  在环境上是解析的。证毕。

**例子 78**

$$f(z) = \frac{1}{1 + \sin^2(z)}$$

是周期为  $2\pi$  的函数，对应的  $g(w)$  可以写为

$$\begin{aligned} g(w) &= f\left(\frac{\ln w}{i}\right) \\ &= \frac{1}{1 + \frac{1}{(2i)^2} (e^{i(\ln w)/i} - e^{-i(\ln w)/i})^2} \\ &= \frac{1}{1 - \frac{1}{4} (w - 1/w)^2} \end{aligned} \quad (10.11)$$

注意这个函数的奇点位于  $-1 - \sqrt{2}$ ,  $1 - \sqrt{2}$ ,  $-1 + \sqrt{2}$ ,  $1 + \sqrt{2}$ 。因此  $g(w)$  在  $-1 + \sqrt{2} < |w| < 1 + \sqrt{2}$  的包含单位圆周的环域上是解析的。

有了这个结果，我们立刻可以得到(10.1)和(10.2)。我们只需注意到，由于  $g(w)$  是环域上的解析函数，因此必然存在洛朗级数展开：

$$g(w) = \sum_{n=-\infty}^{\infty} c_n w^n \quad (10.12)$$

有洛朗级数的柯西公式，我们有

$$c_n = \frac{1}{2\pi i} \int_{|w|=1} \frac{g(w)}{w^{n+1}} dw \quad (10.13)$$

上式中我们选取了位于解析环域中的单位圆周作为积分围道。令  $w = e^{it}$ ，(10.13)可以写为

$$\begin{aligned} c_n &= \frac{1}{2\pi i} \int_{|w|=1} \frac{f\left(\frac{\ln w}{i}\right)}{w^{n+1}} dw \\ &= \frac{1}{2\pi i} \int_{-\pi}^{\pi} \frac{f\left(\frac{\ln e^{it}}{i}\right)}{e^{it(n+1)}} i e^{it} dt \\ &= \frac{1}{2\pi} \int_{-\pi}^{\pi} f(t) e^{-int} dt \end{aligned} \quad (10.14)$$

此即(10.2)。注意一般来说，洛朗展开系数间并没有关联， $c_n \neq c_{-n}^*$ 。但当  $f(z)$  在实轴上取实数时，关系  $c_n = c_{-n}^*$  成立。

当  $f(x)$  无法解析延拓到实轴之外时，上面的证明不再适用，原因是此时在  $w$  平面解析环域被压缩为单位圆周，但只定义在单位圆周上的函数不是解析函数，因此无法作洛朗展开。

尽管如此，我们下面将看到，傅立叶定理也仍然成立。

**定理 43 (傅立叶定理)** 设实函数  $f(x)$  在  $-\pi < x < \pi$  上只有有限个最大值或最小值，以及有限个不连续点，则如下傅立叶级数

$$a_0 + \sum_{m=1}^{\infty} (a_m \cos(mx) + b_m \sin(mx)) \quad (10.15)$$

其中

$$\begin{aligned} a_0 &= \frac{1}{2\pi} \int_{-\pi}^{\pi} f(t) dt, \\ a_m &= \frac{1}{\pi} \int_{-\pi}^{\pi} f(t) \cos(mt) dt \\ b_m &= \frac{1}{\pi} \int_{-\pi}^{\pi} f(t) \sin(mt) dt \end{aligned} \quad (10.16)$$

在  $x$  处收敛于

$$\lim_{\varepsilon \rightarrow 0_+} \frac{f(x - \varepsilon) + f(x + \varepsilon)}{2} \quad (10.17)$$

注意在函数间断点对应的是逐点收敛，而非一致收敛。在复数表示下，傅立叶级数具有更为易记忆的形式

$$f(x) = \sum_{n=-\infty}^{\infty} c_n e^{inx}, \quad (10.18)$$

其中

$$c_n = \frac{1}{2\pi} \int_{-\pi}^{\pi} f(x) e^{-inx} dx \quad (10.19)$$

下面我们给出定理43的证明。

**证明 16** 如下证明方法基于复变函数，是柯西最早给出的。文献中通常给的是狄利克雷的证明。将(10.16)代入(10.15)，得到

$$\frac{1}{2\pi} \int_{-\pi}^{\pi} f(t) dt + \sum_{m=1}^{\infty} \frac{1}{\pi} \int_{-\pi}^{\pi} f(x) \cos[m(x-t)] dt \quad (10.20)$$

我们取该无穷级数的前  $2N+1$  项，

$$\begin{aligned} & \frac{1}{2\pi} \int_{-\pi}^{\pi} f(t) dt + \sum_{m=1}^N \frac{1}{\pi} \int_{-\pi}^{\pi} f(x) \cos[m(x-t)] dt \\ &= \sum_{m=-N}^N \frac{1}{2\pi} \int_{-\pi}^{\pi} f(x) e^{im(x-t)} dt \end{aligned} \quad (10.21)$$

并在稍后让  $N \rightarrow \infty$ 。我们把这个有限级数分为两部分

$$\begin{aligned} U_N(x) &= \sum_{m=-N}^N \frac{1}{2\pi} \int_{-\pi}^x f(x) e^{im(x-t)} dt \\ V_N(x) &= \sum_{m=-N}^N \frac{1}{2\pi} \int_x^{\pi} f(x) e^{im(x-t)} dt \end{aligned} \quad (10.22)$$

我们下面将证明,

$$\lim_{N \rightarrow \infty} U_N(x) = \lim_{\varepsilon \rightarrow 0_+} \frac{1}{2} f(x - \varepsilon), \quad \lim_{N \rightarrow \infty} V_N(x) = \lim_{\varepsilon \rightarrow 0_+} \frac{1}{2} f(x + \varepsilon). \quad (10.23)$$

为此, 我们定义函数

$$\psi(\zeta) = \frac{1}{e^{2\pi\zeta} - 1} \int_{-\pi}^x e^{\zeta(x-t)} f(t) dt \quad (10.24)$$

这是一个关于  $\zeta$  的解析函数, 奇点在  $\dots, -3i, -2i, -i, 0, i, 2i, 3i, \dots$ , 并且在奇点  $im$  处的留数为

$$\text{Res}(\psi, im) = \frac{1}{2\pi} \int_{-\pi}^x e^{im(x-t)} f(t) dt \quad (10.25)$$

因此如果我们取一个以原点为圆心, 半径为  $N + 1/2$  的正定向圆围道  $C_N$ , 在围道上有  $\zeta = (N + 1/2)e^{i\theta}$ , 则根据留数定理有

$$U_N(x) = \frac{1}{2\pi i} \int_{C_N} \psi(\zeta) d\zeta = \frac{1}{2\pi} \int_0^{2\pi} \zeta \psi(\zeta) d\theta. \quad (10.26)$$

为了估计这个积分, 我们把之分成五部分,

$$\begin{aligned} U_N(x) &= \frac{1}{2\pi} \int_0^{\pi/2-1/\sqrt{N}} \zeta \psi(\zeta) d\theta + \frac{1}{2\pi} \int_{\pi/2-1/\sqrt{N}}^{\pi/2+1/\sqrt{N}} \zeta \psi(\zeta) d\theta + \frac{1}{2\pi} \int_{\pi/2+1/\sqrt{N}}^{3\pi/2-1/\sqrt{N}} \zeta \psi(\zeta) d\theta \\ &\quad + \frac{1}{2\pi} \int_{3\pi/2-1/\sqrt{N}}^{3\pi/2+1/\sqrt{N}} \zeta \psi(\zeta) d\theta + \frac{1}{2\pi} \int_{3\pi/2+1/\sqrt{N}}^{2\pi} \zeta \psi(\zeta) d\theta \\ &= I_1 + I_2 + I_3 + I_4 + I_5 \end{aligned} \quad (10.27)$$

首先注意到在  $I_1$  的积分范围内, 有  $\text{Re}(\zeta) > O(\sqrt{N})$ 。因此被积函数

$$\zeta \psi(\zeta) = \frac{\zeta}{e^{2\pi\zeta} - 1} \int_{-\pi}^x e^{\zeta(x-t)} f(t) dt \quad (10.28)$$

趋于 0。同理可证  $I_5$  趋于 0。再来看  $I_2$ 。在这个区域内被积函数  $\zeta \psi(\zeta)$  总是有限的, 而  $d\theta$  的积分限无穷小, 因此也趋于零。同理也可得  $I_4$  趋于零。

因此主要的贡献来自  $I_3$ 。在积分区域内, 有  $\text{Re}(\zeta) < -O(\sqrt{N})$ ,

$$\zeta \psi(\zeta) = \frac{1}{e^{2\pi\zeta} - 1} \int_{-\pi}^x \zeta e^{\zeta(x-t)} f(t) dt \sim - \int_{-\pi}^x \zeta e^{\zeta(x-t)} f(t) dt = -J_1 - J_2 \quad (10.29)$$

其中

$$\begin{aligned} J_1 &= \int_{-\pi}^{x - \frac{1}{\ln N}} \zeta e^{\zeta(x-t)} f(t) dt \\ J_2 &= \int_{x - \frac{1}{\ln N}}^x \zeta e^{\zeta(x-t)} f(t) dt \end{aligned} \quad (10.30)$$

对于  $J_1$  其被积函数趋于零, 积分区间有限, 因此  $J_1 \rightarrow 0$ 。而对于  $J_2$  我们作变量替换  $v = \zeta(x - t)$ ,

$$J_2 = \int_0^{\frac{\zeta}{\ln N}} e^v f(x - \frac{v}{\zeta}) dv \quad (10.31)$$

再令  $w = e^v$ ,

$$J_2 = \int_1^{\exp(\frac{\zeta}{\ln N})} f(x - \frac{\ln w}{\zeta}) dw \quad (10.32)$$

在  $d\theta$  的积分区间内,  $\exp(\zeta/\ln N) \rightarrow 0$ ,  $\ln w/\zeta \rightarrow 0$ 。因此

$$J_2 \sim \lim_{\varepsilon \rightarrow 0+} \int_1^0 f(x - \varepsilon) dw = - \lim_{\varepsilon \rightarrow 0} f(x - \varepsilon) \quad (10.33)$$

因此

$$U_N(x) = I_3 = \frac{1}{2\pi} \int_{\pi/2+1/\sqrt{N}}^{3\pi/2-1/\sqrt{N}} \lim_{\varepsilon \rightarrow 0+} f(x - \varepsilon) d\theta \quad (10.34)$$

因此

$$\lim_{N \rightarrow \infty} U_N(x) = \lim_{\varepsilon \rightarrow 0+} \frac{1}{2} f(x - \varepsilon) \quad (10.35)$$

同理可证

$$\lim_{N \rightarrow \infty} V_n(x) = \lim_{\varepsilon \rightarrow 0+} \frac{1}{2} f(x + \varepsilon) \quad (10.36)$$

定理得证。

**例子 79** 计算傅立叶级数表示。在  $(-\pi, \pi)$  周期内, 函数为

$$f(x) = |\sin x|, \quad -\pi < x < \pi$$

我们注意到这是一个  $(-\infty, \infty)$  上的连续偶函数, 因此可通过傅立叶余弦级数表示。记其傅立叶余弦级数为

$$f_c(x) = a_0 + a_1 \cos x + a_2 \cos(2x) + a_3 \cos(3x) + \cdots, \quad (10.37)$$



则

$$\begin{aligned}
 a_0 &= \frac{1}{2\pi} \int_{-\pi}^{\pi} |\sin x| dx = \frac{2}{2\pi} \int_0^{\pi} \sin x dx = \frac{2}{\pi}, \\
 a_1 &= \frac{1}{\pi} \int_{-\pi}^{\pi} |\sin x| \cos x dx = \frac{2}{\pi} \int_0^{\pi} \sin x \cos x dx = 0, \\
 a_2 &= \frac{1}{\pi} \int_{-\pi}^{\pi} |\sin x| \cos(2x) dx = \frac{2}{\pi} \int_0^{\pi} \sin x \cos(2x) dx = -\frac{4}{3\pi}, \\
 a_3 &= \frac{1}{\pi} \int_{-\pi}^{\pi} |\sin x| \cos(3x) dx = \frac{2}{\pi} \int_0^{\pi} \sin x \cos(3x) dx = 0, \\
 a_4 &= \frac{1}{\pi} \int_{-\pi}^{\pi} |\sin x| \cos(4x) dx = \frac{2}{\pi} \int_0^{\pi} \sin x \cos(4x) dx = -\frac{4}{15\pi}, \quad (10.38)
 \end{aligned}$$

从前面几项可以估计，傅立叶系数在  $n$  很大时的与  $1/n^2$  相关。换句话说，该函数的傅立叶系数是一个绝对收敛级数。用前 5 项可以画出图形如下：

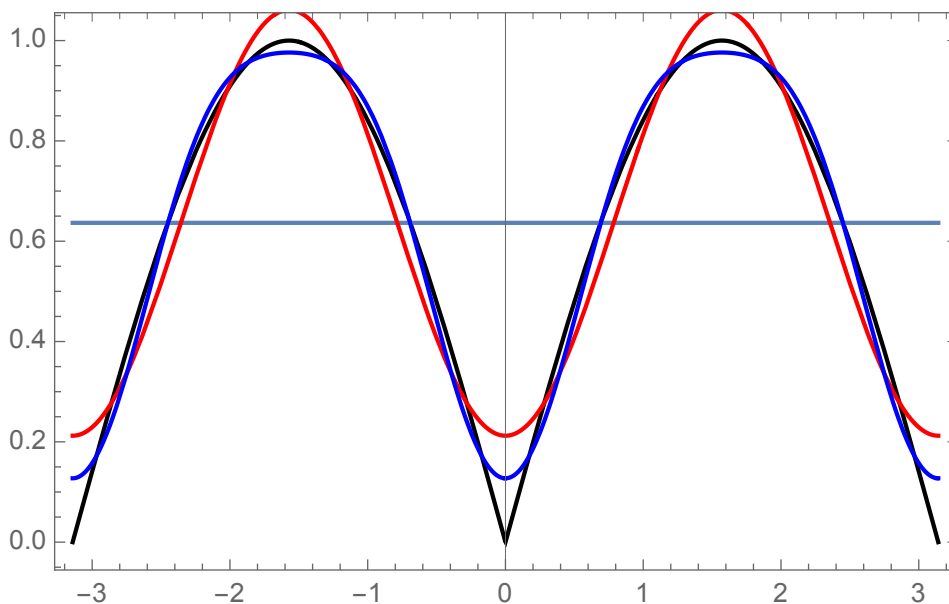


Figure 10.2: 黑色:完整结果;灰色: $n=0$ ;红色: $n=0,1,2,3$ ;蓝色: $n=0,1,2,3,4,5$

**例子 80** 计算方波的傅立叶级数表示。在  $(-\pi, \pi)$  周期内，方波为

$$f(x) = \begin{cases} 0 & -\pi < x \leq 0 \\ 1 & 0 < x < \pi \end{cases}$$

我们考虑  $f(x) - 1/2$  的傅立叶级数表示。显然这是一个奇函数，因此用傅立叶正弦级数表示是方便的。令

$$f_s(x) = \frac{1}{2} + b_1 \sin x + b_2 \sin(2x) + b_3 \sin(3x) + \cdots = \sum_{n=1}^{\infty} b_n \sin(nx). \quad (10.39)$$

则傅立叶系数为

$$\begin{aligned} b_1 &= \frac{1}{\pi} \int_0^{\pi} \sin x dx = \frac{2}{\pi} \\ b_2 &= \frac{1}{\pi} \int_0^{\pi} \sin(2x) dx = 0 \\ b_3 &= \frac{1}{\pi} \int_0^{\pi} \sin(3x) dx = \frac{2}{3\pi} \\ b_4 &= \frac{1}{\pi} \int_0^{\pi} \sin(4x) dx = 0 \\ b_5 &= \frac{1}{\pi} \int_0^{\pi} \sin(5x) dx = \frac{2}{5\pi} \end{aligned} \quad (10.40)$$

一般的，该傅立叶系数可以写为

$$\{b_n\} = 2\pi \left\{ \frac{1}{1}, 0, \frac{1}{3}, 0, \frac{1}{5}, 0, \frac{1}{7}, 0, \cdots \right\} \quad (10.41)$$

这个系数级数与调和级数的收敛性质类似，因此是不收敛的。傅立叶级数前 5 项的图形可以画为 对于不连续函数，傅立叶级数会出现所谓的吉布斯现象，即在不连续点，傅立叶级数的部分和会比原来函数高出大约 18%。但是这与傅立叶定理并不违背，因为在这点傅立叶级数只是逐点收敛，而非一致收敛。

**讨论 11** 一般的，如果傅立叶级数的系数是绝对收敛的，则对应的傅立叶级数是一致绝对收敛的；如果傅立叶级数的系数只是条件收敛的，则对应的傅立叶级数是逐点收敛的。

另外，傅立叶级数系数的大  $n$  衰变行为也反映了对应函数的光滑性质。越光滑的函数其傅立叶系数随  $n$  增大衰变的越快。

## 10.2 傅立叶变换

上一节的结果可以推广到周期为  $2T$  的函数  $f(t)$ ，此时的傅立叶级数应写为

$$\sum_{n=0}^{\infty} a_n \cos \frac{\pi n t}{L} + \sum_{n=1}^{\infty} \sin \frac{\pi n t}{L} \quad (10.42)$$